#### مقاله پژوهشي

مجله دانشگاه علوم پزشکی رفسنجان جلد ینجم، شماره اول، بهار ۱۳۸۵، ۱۰-۷

# محاسبه دز جذبی ناشی از $^{131}$ در تیرویید با استفاده از کد MCNP برای دو میدان کروی و استوانهای

### **دکتر علی اصغر مولوی¹، علیرضا بینش<sup>۲</sup>**

پذيرش مقاله: ١٣٨٥/٣/٣

اصلاح نهایی: ۱۳۸٤/۱۱/۲٦

دريافت مقاله: ١٣٨٣/١٠/١٤

#### چکیده

**زمینه و هدف:** رادیوایزوتوپ <sup>۱31</sup> در درمان پر کاری و سرطان تیرویید به طور گسترده استفاده می شود. از این رو محاسبه دقیق دز جذبی در تیرویید و دیگر اعضای بدن حائز اهمیت است.

مواد و روشها: در این پژوهش، با توجه به روش MIRD و با استفاده از کد محاسباتی MCNP، دُز جـذبی ناشـی از چـشمه رادیواکتیو ۱<sup>13۱</sup> برای تیرویید با جرم و اندازه معین محاسبه شده است.

یافته ها: نتایج حاصل از دو هندسه در نظر گرفته شده برای هر لوپ تیرویید (کروی و استوانه ای) با یکدیگر مقایسه شده است. نتایج محاسبات نشان می دهد که اگر جرم تیرویید از ۲۰ گرم تا ۷۰ گرم تغییر کند، دُز جذبی به ازای یک واپاشی ۴/۲٪ افزایش می یابد.

نتیجه گیری: نتایج نشان میدهد که اولاً در یُد درمانی، بایستی به جای جرم کل تیرویید از روشهای دقیق برآورد جرم فعال غده تیرویید استفاده شود. ثانیاً در محاسبه دز تجویزی برای درمان پرکاری و سرطان تیرویید، تغییرات دز جذبی بر حسب جرم تیرویید نیز مورد توجه قرار گیرد، زیرا دُز جذبی به ازای یک واپاشی وابسته به جرم تیرویید است.

واژههای کلیدی: دُز جذبی، رادیوایزوتوپ ۱<sup>31</sup>۱، روش MIRD، کد محاسباتی MCNP، غده تیرویید

#### مقدمه

کاربرد ایزوتوپهای پرتوزا در پزشکی به دو بخش کاربردهای درمانی و تشخیصی تقسیم می شود.  $I^{181}$  از جمله رادیو ایزوتوپهای مناسب در تشخیص و درمان پرکاری و سرطانهای تیرویید است [Y-1]. این رادیو ایزوتوپ به صورت یدور سدیم نشاندار (X است X استاندار (X استاندار (X استاندار و بخب در غده تیرویید تجمع می یابد. از مقایسه آهنگ شمارش در ناحیه گردن مریض و فانتوم استاندارد گردن، میزان شدت عوارض تیرویید مشخص

می گردد [۴]. در فرآیند ید درمانی، محاسبه دقیق در جذبی در تیرویید و دیگر اعضای بدن از اهمیت زیادی برخوردار است.

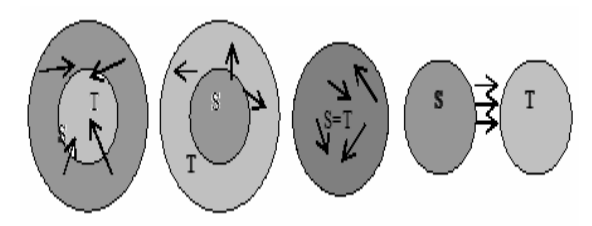
کـد محاسباتی MCNP [۴] یـک ابـزار توانمنـد بـرای شبیهسازی ترابرد تابشها و محاسبه دُز است [۷-۵]. در ایـن پژوهش به روش MIRD و بـه کمـک روش مونـت کـارلو و بـا استفاده از کد محاسباتی MCNP مقدار دُز جذبی به ازای یک واپاشی محاسبه شده است. کمیتـه دز تـابش داخلـی درمـانی (MIRD) انجمن پزشکی هستهای برای محاسبه جذب جزئـی

۱- (نویسنده مسئول) استادیار گروه آموزشی فیزیک دانشکده علوم دانشگاه تربیت معلم سبزوار تلفن: ۰۵۷۱-۴۴۱۰۱۰۹ ، فاکس: ۰۶۷۱-۴۴۱۱۱۶۱ پست الکترونیکی: amowlavi@sttu.ac.ir

۲- دانشور و عضو هیأت علمی گروه آموزشی فیزیک دانشگاه پیام نور فریمان

انرژی گاما در اندامها و بافتها روشی ارایه داده است که با آن می توان در جذب شده در اندام هدف (T) و اندام چشمه (S) که ایزوتوپ پرتوزا در آن به طور یکنواخت توزیع شده است را محاسبه کرد [-1-1]. این روش مبتنی بـر کـسر جـذبی ( $\Phi$ ) است، که عبارت است از کسری از انرژی تـابش شـده از انـدام چشمه که در اندام هدف جذب می گردد:

انرژی جذب شده درهدف  $\Phi$  کسر جذبی انرژی گسیل شده از چشمه



#### شکل ا: چهار وضعیت مختلف اندامهای چشمه و هدف [۱۰].

به روش مونت کارلو می توان کسرهای جذبی برای چهار وضعیت اندامهای چشمه وهدف نشان داده شده در شکل ۱ را محاسبه کرد. روش مونت کارلو مبتنی بر گام زدن تصادفی است که با آن هر فرآیند آماری یا شبه آماری مشل ترابرد تابشها را می توان شبیه سازی کرد. در این روش تاریخچه تک تبک ذرات گسیلی از چشمه دنبال می شود و متوسط کمیتهای مورد نظر نظیر انرژی ذخیره شده در اندام هدف، محاسبه می گردد. مزیت روش مونت کارلو بر سایر روشها، توانمندی آن در شبیه سازی هر نوع هندسه و مواد است. کد محاسباتی MCNP توانایی انجام محاسبات ترابرد نوترون، گاما و الکترون به روش مونت کارلو را دارد [۴].

#### مواد و روشها

روش محاسبات: محاسبه دز به روش MIRD مبتنی بر چند پیش فرض است که مهم ترین آنها توزیع یکنواخت ماده رادیواکتیو در اندام هدف یا تومور است.

محاسبه دُز برای یک کره هـم ارز بافـت: ابتـدا محاسـبات دزیمتری برای یک کره تشکیل شده از ماده هـم ارز بافـت بـه جرم MBq ۰/۶kg ۱، از مـاده رادیواکتیـو آ<sup>131</sup> در آن بطـور یکنواخت پخش شده است، انجام دادهایـم. بـرای ایـن منظـور میتوان با استفاده از تالی (Tally) F6 برای پرتوهای گامـا و از تالی ۴۶۶ برای پرتوهای شده را بـه تالی ۴۶۶ برای پرتوهای الکترون مقدار انرژی جذب شده را بـه

ازای یک واپاشی با MCNP محاسبه نمود. نتایج حاصل برای کره هم ارز بافت عبارتند از:

برای پرتوهای بتاها \*F8 = 0.043358(1 $\pm$ 0.003) MeV/t برای پرتوهای بتاها \*F8 = 0.043358(1 $\pm$ 0.003) MeV/gr  $E_{total}$  = $E_{e}(\beta)+E_{e}(\gamma)=F6\times m(kg)+*F8=$  7.22623×10 $^{-5}\times600+0.1748=0.218158$  MeV/t در نتیجه آهنگ دز عبارت است از:

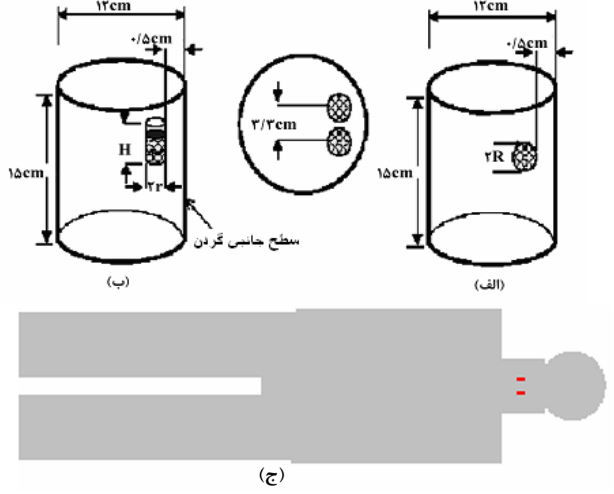
## $\dot{D} = \frac{\left[qBq \times ltps/Bq \times E_{e}MeVt \times 1.6 \times 10^{-13}J/MeV \times 8.64 \times 10^{4}s/d\right]}{m \text{ kg}}$

= 0.00502636 Gy/d

که  $(\beta)$  و  $(\gamma)$  به ترتیب انرژی جذب شده بتاها و فوتونها برحسب MeV به ازای یک واپاشی است. این نتیجه با آنچه H.Cember گزارش کرده است توافق بسیار خوبی دارد (10).

#### نتايج

محاسبات دز برای تیرویید: در شبیهسازی بدن و محاسبه دز دریافتی ناشی از تیرویید به کمک کد MCNP ، فانتومهای بدن و گردن را مطابق شکل ۲ در نظر گرفتهایم و مقدار دز جذبی در تیرویید و بقیه بدن را برای دو هندسه کروی و استوانهای هر لوپ غده تیرویید محاسبه نمودهایم. توجه به این نکته ضروری است که تالیهای خروجی MCNP به ازای یک ذره چشمه است، و برای فعالیتهای پرتوزایی و نیمه عمرهای موثر می توان مقدار دز جذبی را محاسبه نمود.



شکل ۲: الف) فانتوم گردن با لوپ کروی برای تیرویید [۱۱]، ب) فانتوم گردن با لـوپ اسـتوانهای بـرای تیروییـد [۱۱]،ج) فـانتوم بـدن مـورد استفاده برای محاسبات MCNP.

1/4 \( \frac{1}{2} \)

نمودار ۳: مقایسه انرژی کل جذب شده در تیروییـد بـا لـوپ کـروی و تیرویید با لوپ استوانهای به ازای یک واپاشی.

نیمه عمر بیولوژیکی ید حدود ۳۳ روز است که با توجه به نیمه عمر فیزیکی آن، نیمه عمر مؤثر حدود ۶/۴۳ روز است. در این صورت رابطه واپاشی عبارت است از:

$$q(t) = q_0 e^{-\lambda_e t}$$
 ,  $\lambda_e = \frac{\text{Ln}(2)}{(t_{1/2})_e}$ 

که  $\lambda_{\rm e}$  ثابت واپاشی مؤثر و  $(t_{\rm 1/2})_{\rm e}$  نیم عمر مؤثر است. آهنگ دُز جذبی در تیرویید به صورت زیر است:

$$\dot{D} = \frac{q(t) \times 1 tps / Bq \times E_e MeV / t \times 1.6 \times 10^{-13} J / MeV}{m \ kg}$$

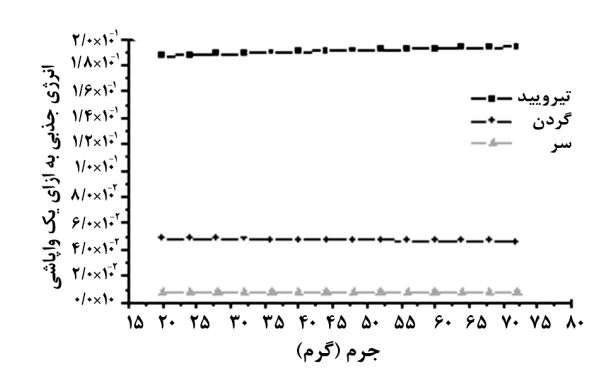
به این ترتیب دز کل از رابطه زیر محاسبه می شود:  $D = \frac{1 tps/Bq \times E_e MeV/t \times 1.6 \times 10^{-13} J/MeV}{m~kg} \int q(t) dt$ 

بنابراین با توجه به رابطه فوق و داشتن کسر جذبی که به روش مونت کارلو در این مقاله به محاسبه آن پرداختیم، به سادگی دز کل محاسبه می شود.

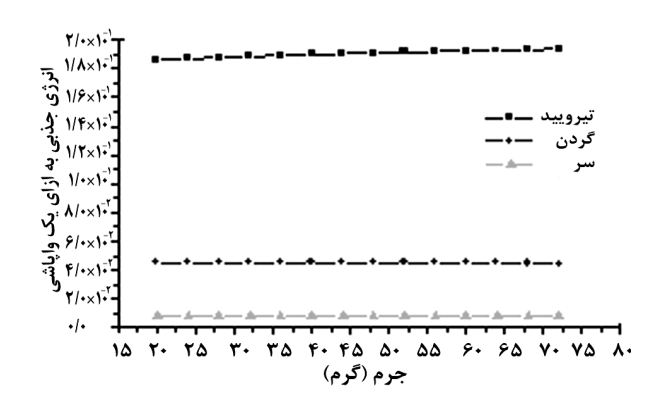
#### بحث

محاسبات مونت کارلوی انجام شده با کد MCNP نشان می دهد که اگر جرم تیرویید از ۲۰ گرم تا ۷۰ گرم تغییر کند، کسر جذبی برای هندسه کروی ۳/۷۸٪ و برای حالت استوانهای ۴/۲۷٪ افزایش می یابد. بعضی از منابع خطا در برآورد دُز جذبی یک اندام عبارتند از درصد برداشت رادیو دارو توسط اندام هدف، فعالیت هدف، نیمه عمر مؤثر و برآورد جرم اندام [۱۲–۱۲]؛ که در ید درمانی برآورد دقیق جرم تیرویید دو بسیار حائز اهمیت می باشد. در شکل ۳ تصویر تیرویید دو بیمار که به روش SPECT با دوربین گاما تهیه شده نشان داده شده است. نمودار ۴ نیز نتایج برآورد حجم تیرویید سه بیمار به دو روش اکوگرافی و SPECT را نشان می دهد. به وضوح دیده می شود که تفاوت حجم کل با حجم فعال تیرویید قابل

نمودارهای ۱ و ۲ تغییرات مقدار کسر جذب شده کل به ازای یک واپاشی در تیرویید، گردن و سر بر حسب جرم غده تیرویید را برای دو وضعیت هندسی نشان میدهند. در نمودار ۳ کسر جذبی کل برای تیرویید بر حسب جرم برای دو هندسه کروی و استوانهای نشان داده شده است، دیده میشود که دُز جذبی در تقریب کروی، به خاطر بزرگتر بودن نسبت حجم به سطح آن از حالت استوانهای بیشتر است. برای وضعیت واقعی تر که هر لوپ غده تیرویید به شکل بیضی گون است، دز جذبی بین دو حالت فوق میباشد. شکل و اندازه دقیق بافت پرکار یا فعال تیرویید معمولاً به روش سانتی گرافی اندازه گیری و تعیین میشود [۲۰۱۱]. در تمام محاسبات انجام شده در این پژوهش، خطای نسبی کمتر از ۵/۰٪ بوده است.

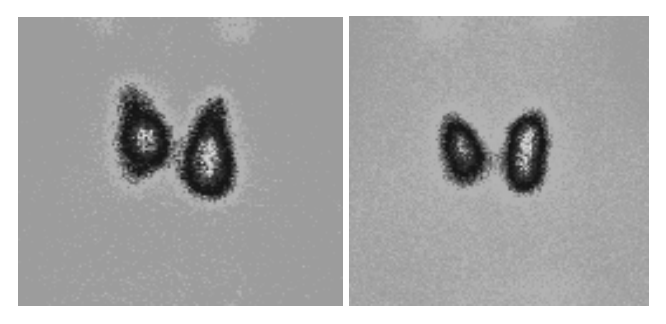


نمودار ۱: انرژی کل جذب شده در تیرویید با لوپ کروی به ازای یک واپاشی.

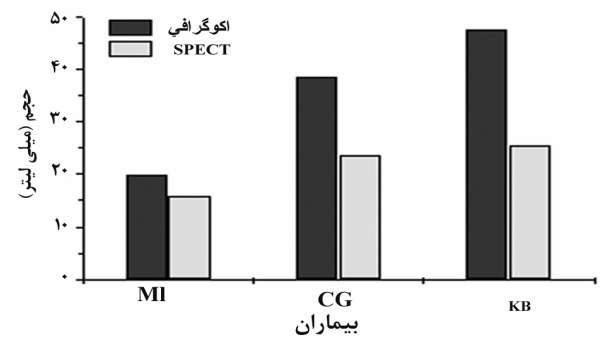


نمودار ۲: انرژی کل جذب شده در تیرویید با لوپ استوانهای به ازای یک واپاشی.

استفاده شود؛ یعنی بجای استفاده از روشهایی نظیر تخمین لمسی، MRI و اکوگرافی که جرم کل تیروپید را برآورد مے نمایند؛ از روش هایی مانند عکس برداری SPECT و سانتی گرافی که به کمک آنها می توان جرم توده فعال تیرویید را که اندازه گیری نمود، استفاده شود. ثانیاً در محاسبه دز تجویزی برای درمان پرکاری و سرطان تیرویید، تغییرات دز جذبی برحسب جرم تیرویید نیز مورد توجه قرار گیرد، زیرا دُز جذبی به ازای یک وایاشی وابسته به جرم تیرویید است و اگر جرم تیروپید از ۲۰ گرم تا ۷۰ گرم تغییر کنید، کسر جاذبی برای هندسه کروی ۳/۷۸٪ و برای حالت استوانهای ۴/۲۷٪ افزایش می یابد. بعضی از منابع خطا در برآورد دُز جـذبی یـک اندام عبارتند از درصد برداشت رادیو دارو توسط اندام هدف، فعالیت هدف، نیمه عمر مؤثر و برآورد جرم اندام [۱۴-۱۲]؛ که در ید درمانی برآورد دقیق جرم تیرویید بسیار حائز اهمیت می باشد. نتایج این پژوهش می تواند در بهینه کردن دُز تجویزی به بیمار و افزایش دقت آن مورد استفاده قرار گیرد.



شکل ۳: تصویر تیرویید دو بیمار که به روش SPECT بـا دوربـین گامـا تهبه شده است.



نمودار ٤: نتایج بر آورد حجم تیرویید سه بیمار به روش اکو گرافی و SPECT نتیجه گیری

نتایج این پژوهش نشان میدهد که اولاً بهتر است در یُد درمانی، از روشهای دقیق برآورد جرم فعال غده تیرویید

#### References

- [1] Vini L, Harmer C. Radioiodine treatment for differentiated thyroid cancer. *Clin Oncl (Rcoll Radiol)*, 2000; 12(6): 365-72.
- [2] Matheoud R, Canzi C, Reschini E, Zito F, Voltini F, Gerundini P. Tissue-specific dosimetry for radioiodine therapy of the autonomous thyroid nodule. *Med Phys*, 2003; 30(5): 791-8.
- [3] Erdi YE, Macapinlac H, Larson SM, Erdi AK, Yeung H, Furhang EE, et al. Radiation Dose Assessment for I-131 Therapy of Thyroid Cancer Using I-124 PET Imaging. Clin Positron Imaging, 1999; 2(1): 41-6.
- [4] Briesmeister JF. MCNP Monte Carlo N-Particle Transport Code, Version 4C, Los Alamos National Laboratory, 2000.
- [5] Sohrabpour M, Hassanzadeh M, Shahriari M, Sharifzadeh M. Gamma irradiator dose mapping simulation using the MCNP code and benchmarking with dosimetry. *Appl Radiat. Isot*, 2002; 57(4): 537-42.
- [6] Oliveria C, Salgado J. Isodose distributions and dose uniformity in the poruguese gamma irradiation facility calculated using the MCNP code. *Radiat Phys Chem*, 2001; 61(4): 791-3.
- [7] Sohrabpour M, Hassanzadeh M, Shahriari M, Sharifzadeh M. Dose distribution of IR-136 irradiator using a Monte Carlo code and comparison with dosimetry. *Appl Radiat Isot*, 2002; 63(3-6): 769-72.

- [8] Loevinger R, Budinger T, Watson E. MIRD Primer for Absorbed Dose Calculations, Society of Nuclear Medicine, NewYork, 1988.
- [9] Watson EE. The MIRD Method of Internal Dose Methodology, Medical Physics Publishing, Madison, 1994.
- [10] Cember H, Introduction to Health Physics, 3rd ed, McGraw Hill Inc, NewYork, 1996; pp: 185-92.
- [11] van Isselt JW, de Klerk JM, van Rijk PP, van Gils APG, Polman LJ, Kamphuis C, et al. Comparison of methods for thyroid volume estimation in patients with Graves' disease. *Eur J Nucl Med Mol Imaging*, 2003; 30(4): 525-31.
- [12] Kramer GH, Hauck BM, Chamberlain MJ. Biological halflife of iodine in adults with intact thyroid function and in athyreotic persons. *Radiat Prot Dosimetry*, 2002; 102(2): 129-35.
- [13] Ying M, Brook F, Ahuja A, Metreweli C. The value of thyroid parenchymal echogenicity as an indicator of pathology using the sternomastoid muscle for comparison, *Ultrasound Med Bio*, 1998; 24(8): 1097-105.
- [14] Zaidi H. Comparative methods for quantifying thyroid volume using planer imaging and SPECT. J Nucl Med, 1996; 37(8): 1421-26.